

# КОМПЛЕКСНЫЙ АНТИМИКРОБНЫЙ МЕТОД НА ОСНОВЕ ФОТОДИНАМИЧЕСКОГО ВОЗДЕЙСТВИЯ

УО «Белорусский государственный медицинский университет»

*Цель работы – разработка и оценка *in vitro* комплексного антимикробного метода на основе фотодинамического воздействия.*

*С использованием тест-культур грамотрицательных бактерий (*Escherichia coli*, *Klebsiella pneumoniae* и *Pseudomonas aeruginosa*) показано, что антимикробный эффект фотодинамического воздействия существенно возрастает при применении комбинации фотосенсибилизатора метиленового синего с диметилсульфоксидом и полимиксином.*

*Совместное применение метиленового синего, диметилсульфоксида и полимиксина с последующим облучением светом красной области спектра с длиной волны  $670\pm2$  нм*

## Оригинальные научные публикации

приводило к резкому снижению количества жизнеспособных грамотрицательных бактерий в эксперименте в 10 000–1 000 000 раз по сравнению с контролем.

**Ключевые слова:** гнойно-воспалительные заболевания, фотодинамическая терапия, метиленовый синий, полимиксин, диметилсульфоксид, грамотрицательные бактерии.

**T. A. Hrachukha**

### **COMPREHENSIVE ANTIMICROBIAL METHOD BASED ON PHOTODYNAMIC TREATMENT**

*Objective: to create and evaluate in vitro an antibacterial method on the basis of a photodynamic effect.*

*Studies on gram-negative cultures (*Escherichia coli*, *Klebsiella pneumoniae* and *Pseudomonas aeruginosa*) have shown that the antibacterial effect of photodynamic treatment significantly increased with using the combination of photosensitizer methylene blue, dimethylsulfoxide (DMSO) and polymixin.*

*The combined use of methylene blue, dimethylsulfoxide and polymixin, together under the radiation of a red light frequency  $670\pm2$  nm, has highly decreased the number of gram-negative bacteria in 10 000–1 000 000 times compared with the control number.*

**Key words:** pyo-inflammatory diseases, photodynamic therapy, methylene blue, polymyxin, dimethylsulfoxide, gram-negative bacteria.

При лечении гнойно-воспалительных заболеваний основным этиотропным воздействием на воспалительные очаги является противомикробная химиотерапия, включающая антисептику и антибиотикотерапию. В настоящий момент наиболее актуальным является вопрос преодоления устойчивости микроорганизмов к часто используемым в клинической практике препаратам. Решением данной проблемы является поиск дополнительных методов воздействия на возбудителей. Одним из перспективных направлений среди них являются физико-химические методы, в частности антимикробная фотодинамическая терапия (АФДТ). Фотодинамическое воздействие (ФДВ) обладает выраженной бактерицидной активностью, противовоспалительным действием, усиливает иммунный ответ на патогены, предупреждает дистрофические и склеротические процессы в тканях [1, 6].

Принцип АФДТ заключается в избирательной окислительной деструкции структур микроорганизмов при сочетанном воздействии химического соединения – фотосенсибилизатора (ФС) и оптического излучения с длинами волн, соответствующими спектру поглощения ФС. Принцип метода состоит в том, что, при поглощении квантов света молекулы ФС, связанные с микробной клеткой, переходят в фотовозбужденное состояние и передают энергию возбуждения на молекулярный кислород с образованием цитотоксичного синглетного кислорода [3, 5].

В клинической практике применяется ряд фотосенсибилизаторов, различающихся физическими и химическими характеристиками, а также стоимостью. Одним из наиболее эффективных

и доступных препаратов является катионный фотосенсибилизатор метиленовый синий [5, 8].

Локальное использование фотосенсибилизатора и светового воздействия уже само по себе позволяет получать хороший противомикробный эффект. Однако, способность фотосенсибилизатора связываться с микробной клеткой напрямую зависит от ее структурных компонентов, среди которых основным барьером является клеточная стенка, которая защищает клетку от физических и химических воздействий. Она препятствует проникновению молекул фотосенсибилизатора внутрь бактериальной клетки. Решением проблемы является диметилсульфоксид (ДМСО), который повышает проницаемость клеточной стенки. Синтетический препарат ДМСО обладает противовоспалительным и выраженным местнообезболивающим действием, увеличивает чувствительность микрофлоры к антимикробным средствам.

Изучение структурно-функциональных связей между бактериальной клеткой и молекулами фотосенсибилизатора показало, что структуры грам-положительных бактерий активно связываются с нейтральными и положительно заряженными молекулами ФС и под действием света фотодинамически повреждаются. Иная картина наблюдается с грамотрицательными бактериями. Молекулы фотосенсибилизатора также связываются с клеточной стенкой, но не инактивируют бактерии при облучении светом. [4, 9] Следовательно, существует необходимость в дополнительном воздействии на эту группу микроорганизмов. Препаратором выбора является антибиотик, обладающий выраженным узким спектром активнос-

## Оригинальные научные публикации

ти против грамотрицательной флоры – полимиксин. Механизм его действия обусловлен главным образом блокадой проницаемости цитоплазматической мембранны бактериальных клеток, что приводит к их деструкции [7, 8].

**Цель работы.** Разработка комплексного антимикробного метода на основе фотодинамического воздействия в отношении грамотрицательных бактерий.

**Материалы и методы.** В качестве объекта воздействия использовались госпитальные, множественно резистентные к антибиотикам штаммы грамотрицательных бактерий *Escherichia coli*, *Klebsiella pneumoniae* и *Pseudomonas aeruginosa*, выделенные от пациентов с гнойно-септическими инфекциями.

Инициатором фотодинамической реакции выступал катионный фотосенсибилизатор метиленовый синий в концентрации 20 мг/мл. При ФДВ применяли излучение малогабаритного полупроводникового лазерного терапевтического аппарата «Люзар-МП» производства РБ. Ранее было установлено, что наиболее эффективным в отношении возбудителей гнойно-воспалительных заболеваний, является излучение волны красной области спектра с длиной  $670 \pm 2$  нм [2]. Исходя из того, что ни фотосенсибилизатору, ни световому облучению по отдельности не свойственны выраженное бактерицидное действие и фотодинамическая реакция возникает только при одновременном действии этих двух факторов, во всех сериях опытов, где применялся ФС метиленовый синий, после 10 минут его экспозиции с культурой проводили облучение светом. [4, 10] Мощность лазерного излучения на выходе излучателя составляла 15 мВт при времени воздействия 5 минут. Расстояние от световодной насадки до поверхности питательной среды составляло 2 см, что давало возможность распределить световой поток равномерно по всей поверхности посева. ДМСО использовали в виде 25 % водного раствора.

Раствор полимиксина готовили путем растворения в стерильной дистиллированной воде до концентрации равной 1/2 минимальной ингибирующей концентрации (МИК) – 0,06 мкг/мл, установленной в серии предварительных опытов.

Суточные агаровые культуры тест-организмов суспендировали в физиологическом растворе и доводили до плотности  $10^5$ – $10^6$  КОЕ/мл. Питательную среду (МПА) в чашках Петри засевали тест-культурами методом «газона», распределяли суспензию по поверхности питательной среды покачиванием.

В первой серии исследования взвеси тест-культур смешивали с одним из следующих рас-

творов: фотосенсибилизатором, ДМСО, полимиксином.

Во второй серии исследования проводили опыты с двойной комбинацией растворов: ФС метиленовый синий с димексидом, ФС метиленовый синий с полимиксином, димексид с полимиксином.

В третьей серии исследования использовали тройную комбинацию растворов: ФС метиленовый синий с димексидом и полимиксином одновременно.

В качестве контроля использовали посевы интактных тест-культур бактерий *Escherichia coli*, *Klebsiella pneumoniae* и *Pseudomonas aeruginosa*. Контрольные и опытные посевы помещали в термостат с температурой  $37 \pm 2$  °C. Через 24 часа при помощи полуавтоматического счетчика колоний подсчитывали количество колоний (КОЕ/мл) бактерий в опыте и контроле.

**Результаты и обсуждение.** Статистическая обработка полученных данных проводилась с использованием возможностей программы обработки электронных таблиц «Microsoft Excel 2007» и диалоговой системы «Statistica 9.0».

Для анализа полученных данных применялась описательная статистика – представление результатов с помощью различных агрегированных показателей: среднего значения, среднеквадратичного отклонения, коэффициента вариации.

Уровень антимикробной активности считали достаточно высоким при снижении числа выживших бактерий (КОЕ/мл) более чем в 10 000 раз.

В первой серии опытов, оценивая антимикробную активность каждого препарата в отдельности из числа применяемых в комплексном методе, установлено, что ДМСО при его изолированном применении антибактериальной активности в отношении изученных штаммов бактерий не проявляет. При использовании метиленового синего или полимиксина отмечен недостаточно высокий уровень антимикробной активности. Количество жизнеспособных бактерий уменьшилось в 100–1000 (таблица 1, рисунок 1).

Во второй серии опытов, при одновременном воздействии двух препаратов, наблюдается повышение уровня антибактериальной активности, количество жизнеспособных бактерий уменьшилось в 1000–10 000 раз.

В третьей серии опытов, при воздействии тройной комбинации препаратов метиленового синего, димексида и полимиксина с последующим облучением, достигнут наибольший антимикробный эффект, количество жизнеспособных бактерий уменьшилось в 10 000–1 000 000 раз.

С целью повышения наглядности сравнительного анализа однородных показателей, исполь-

## □ Оригинальные научные публикации

Таблица 1. Результаты оценки эффективности комплексного антимикробного метода на основе фотодинамического воздействия в отношении грамотрицательных бактерий

	№ Культур	Контроль	ДМСО	М/С	Полимиксин	Полимиксин + ДМСО	Полимиксин + М/С	М/С + ДМСО	Полимиксин + М/С + ДМСО
E. coli	11546	$6,8 \times 10^6$ *	$2,2 \times 10^6$	$3,8 \times 10^4$	$6,10 \times 10^2$	$2,8 \times 10^2$	$2,0 \times 10^2$	$8,3 \times 10^3$	0
	15636	$2,0 \times 10^5$	$6,8 \times 10^5$	$5,6 \times 10^3$	$3,1 \times 10^4$	$8,9 \times 10^3$	$4,6 \times 10^2$	$6,2 \times 10^2$	0
	10488	$4,6 \times 10^6$	$4,2 \times 10^6$	$7,3 \times 10^4$	$2,8 \times 10^2$	0	$1,5 \times 10^2$	$5,6 \times 10^3$	0
	11546	$8,2 \times 10^5$	$1,0 \times 10^6$	$8,1 \times 10^3$	$3,4 \times 10^3$	$3,3 \times 10^3$	$8,0 \times 10^1$	0	0
	15911	$8,0 \times 10^5$	$3,3 \times 10^5$	$2,0 \times 10^3$	$7,6 \times 10^3$	$5,2 \times 10^2$	$6,2 \times 10^2$	$8,9 \times 10^2$	0
$M^{**}$ $\sigma^{***}$ $C^{****}$		$2,64 \times 10^6$	$1,68 \times 10^6$	$2,39 \times 10^4$	$8,58 \times 10^3$	$2,60 \times 10^3$	$3,02 \times 10^2$	$3,08 \times 10^3$	0
		$2,91 \times 10^6$	$1,79 \times 10^6$	$3,15 \times 10^4$	$1,28 \times 10^4$	$4,08 \times 10^3$	$2,29 \times 10^2$	$3,67 \times 10^3$	0
	110	107	107	132	149	157	76	119	0
Kl	10694	$4,2 \times 10^6$	$3,0 \times 10^6$	$9,1 \times 10^3$	$4,6 \times 10^3$	$6,4 \times 10^2$	$2,1 \times 10^2$	$5,2 \times 10^3$	0
	15901	$5,6 \times 10^6$	$6,1 \times 10^6$	$7,6 \times 10^3$	$3,8 \times 10^4$	$9,1 \times 10^3$	$6,4 \times 10^3$	$5,8 \times 10^2$	$2,5 \times 10^2$
	14316	$8,4 \times 10^6$	$4,2 \times 10^5$	$3,3 \times 10^3$	$8,0 \times 10^3$	$4,6 \times 10^3$	$8,2 \times 10^1$	$2,2 \times 10^3$	0
	15890	$2,2 \times 10^6$	$1,2 \times 10^6$	$7,2 \times 10^4$	$2,5 \times 10^4$	1,4000	$1,6 \times 10^3$	$1,9 \times 10^3$	$3,1 \times 10^2$
	15002	$9,0 \times 10^5$	$2,8 \times 10^6$	$6,7 \times 10^2$	$7,4 \times 10^3$	$7,1 \times 10^3$	$1,0 \times 10^2$	$2,1 \times 10^2$	0
$M$ $\sigma$ $C$		$4,26 \times 10^6$	$2,70 \times 10^6$	$1,85 \times 10^4$	$1,66 \times 10^4$	$7,09 \times 10^3$	$1,68 \times 10^3$	$2,02 \times 10^3$	$1,12 \times 10^2$
		$2,94 \times 10^6$	$2,19 \times 10^6$	$3,01 \times 10^4$	$1,44 \times 10^4$	$4,99 \times 10^3$	$2,72 \times 10^3$	$1,97 \times 10^3$	$1,55 \times 10^2$
	69	81	163	87	70	162	98	138	
Ps	10	$2,2 \times 10^6$	$9,1 \times 10^5$	$3,8 \times 10^4$	$5,2 \times 10^4$	$2,3 \times 10^3$	$8,8 \times 10^3$	$4,4 \times 10^3$	$1,3 \times 10^2$
	24	$5,6 \times 10^6$	$5,2 \times 10^6$	$2,1 \times 10^5$	$8,1 \times 10^3$	$3,7 \times 10^3$	$9,3 \times 10^2$	$5,3 \times 10^3$	$6,7 \times 10^1$
	26	$3,8 \times 10^6$	$2,8 \times 10^6$	$5,2 \times 10^4$	$3,1 \times 10^4$	$4,5 \times 10^3$	$2,1 \times 10^3$	$6,2 \times 10^3$	$3,2 \times 10^2$
	29	$8,1 \times 10^6$	$8,4 \times 10^6$	$5,6 \times 10^4$	$8,7 \times 10^4$	$7,8 \times 10^3$	$1,4 \times 10^3$	$2,8 \times 10^3$	$9,8 \times 10^1$
	30	$5,2 \times 10^6$	$4,0 \times 10^6$	$8,1 \times 10^4$	$9,6 \times 10^3$	$2,1 \times 10^3$	$9,1 \times 10^2$	$1,1 \times 10^4$	0
$M$ $\sigma$ $C$		$4,98 \times 10^6$	$4,26 \times 10^6$	$8,74 \times 10^4$	$3,75 \times 10^4$	$4,08 \times 10^3$	$2,83 \times 10^3$	$1,55 \times 10^4$	$1,23 \times 10^2$
	44	66	80	88	57	119	137	$2,12 \times 10^4$	$1,20 \times 10^2$

\* – КОЕ/мл (число колониеобразующих единиц);

\*\* – среднее значение;

\*\*\* – среднеквадратичное отклонение;

\*\*\*\* – коэффициент вариации.

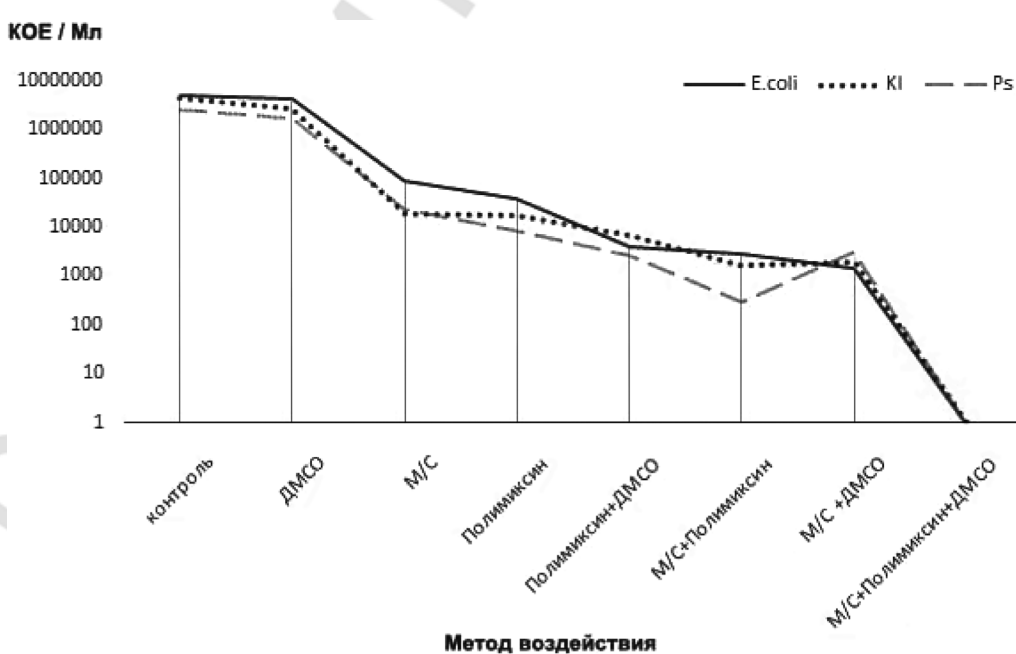


Рисунок 1. Результаты оценки эффективности комплексного антимикробного метода на основе фотодинамического воздействия в отношении грамотрицательных бактерий

## Оригинальные научные публикации □

зовалось их графическое представление. Графики строились в логарифмическом масштабе (рисунок 1).

Таким образом, изолированное фотодинамическое воздействие с использованием ФС метиленового синего проявляет недостаточно высокий antimикробный эффект в отношении грамотрицательных бактерий.

ДМСО в комбинации с фотодинамическим воздействием и полимиксином усиливает действие последних.

Совместное применение метиленового синего, ДМСО и полимиксина с последующим облучением в качестве АФДТ приводит к резкому снижению количества жизнеспособных грамотрицательных бактерий в эксперименте.

### Литература

1. Карадашов, В. И., Петухов Е. Б., Зродников В. С. Фототерапия / под ред. академика Н. Р. Палеева. – М.: «МЕДИЦИНА», 2001. – С. 389.
2. Кирьянова, В. В. Антология света. Kosmetik International // Физиотерапевт. – 2005. – № 9.
3. Корабоев, У. М., Толстых М. П., Дуванский В. А., Усманов Д. Н. Изучение активности фотодинамической

терапии в эксперименте // Лазерная медицина. – 2001. – № 5(2). – С. 27–29.

4. Лапченко, А. А., Гуров А. В. Российская конференция оториноларингологии, 4-ая // Приложение // Вестник оториноларингологии. – 2005. – № 5. – С. 323–324.

5. Пальчун, В. Т., Лапченко А. С., Лапченко А. А., Гуров А. В., Кучеров А. Г. Современный взгляд на antimикробную фотодинамическую терапию // Вестник оториноларингологии. – 2007. – № 3. – С. 4–6.

6. Странадко, Е. Ф., Роль фотодинамической терапии в хирургии. Материалы научно-практ. конф. с междунар. участием, посвящ. 20-летию ФГУ «ГНЦ лазерная медицина Росздрава». – 2006 – С. 157–158.

7. Странадко, Е. Ф., Корабоев У. М., Толстых М. П. Хирургия. – 2000. – № 9. – С. 67–70.

8. Gales, A. C. и соавт.: Contemporary assessment of antimicrobial susceptibility testing methods for polymyxin B and colistin: review of available interpretative criteria and quality control guidelines. J Clin Microbiol 39 (2001). 183–190.

9. Hamblin, M. R., Demidova T. N. Photodynamic therapy targeted to pathogens. // Int. J. Immunopathol Pharmacol. – 2004. – № 17 (3). – С. 245–254.

10. Segalla, A., Borsarelli C. et al. Photobiol Sci. – 2002. – № 1. – С. 641–648.

Поступила 13.02.2015 г.